

# CONSIDERAȚII PRIVIND POZIȚIA CRONOLOGICĂ ABSOLUTĂ A CIMITIRELOR PREISTORICE DE LA ICLOD

DRAGOȘ DIACONESCU\*

goshu\_d@yahoo.com

GHEORGHE LAZAROVICI\*\*

ghlazarovici@yahoo.com

SORIN TINCU\*\*\*

sorin\_tincu@yahoo.com

---

**Summary:** the Iclod group is considered one of the most representatives cultural groups of the Late Neolithic from Transylvania. In this paper are discussed the absolute chronological position of the Neolithic cemeteries from the eponymous site and also that one of the Iclod group. The absolute chronological frame established through a Bayesian approach, is between cca. 5000–4450 cal BC. Therewith are discussed certain connections and chronological synchronisms of the Iclod group with other two Late Neolithic cultural groups from Banat and Transylvania: Foeni and Turdaș.

**Key-words:** Iclod group, Late Neolithic, Transylvania, AMS data, Bayesian approach

**REZUMAT:** grupul Iclod este considerat unul dintre cele mai reprezentative manifestări ale Neoliticului Târziu din Transilvania. Prezentul studiu discută poziția cronologică absolută a cimitirelor neolitice din situl eponim dar și a grupului Iclod pe ansamblu. Intervalul cronologic absolut stabilit prin modelare bayesiană pentru grupul Iclod este cca. 5000–4450 cal BC. Totodată sunt re-discutate și anumite legături și sincronisme cronologice cu alte două grupuri culturale ale Neoliticului Târziu din Banat și Transilvania: Foeni și Turdaș.

**CUVINTE-CHEIE:** grupul Iclod, Neolitic Târziu, Transilvania, date AMS, abordare bayesiană

## INTRODUCERE

Situl arheologic de la Iclod a devenit unul dintre reperele arheologiei preistorice din România o dată cu cercetările sistematice duse cu un ritm intensiv de către echipa de cercetare condusă de Gheorghe Lazarovici de la debutul deceniului al șaptelea al secolului XX<sup>1</sup>. Rezultatele obținute au dus la definirea grupului cultural Iclod<sup>2</sup>, plasat la un orizont cronologic legat de momentul Vinča B2/C, C1 și început de C2, în accepțiunea cronologiei schițate de Gheorghe Lazarovici<sup>3</sup>.

---

\* Muzeul Național Brukenthal Sibiu.

\*\* Universitatea Lucian Blaga Sibiu.

\*\*\* Muzeul Castelul Corvinilor Hunedoara.

<sup>1</sup> Pentru o privire mai amplă asupra istoricului cercetărilor din acest sit, în care sunt menționate și cercetările întreprinse aici de M. Roska, vezi Lazarovici 1991, pp. 5–7.

<sup>2</sup> Lazarovici 1977a, p. 227.

<sup>3</sup> Ibidem, p. 222, fig. 10. Câtă vreme etapa B2/C la Lazarovici este paralelizată la Schier 1995 cu finalul C1 și începutul C2, este clar că etapa C1 la Lazarovici nu poate fi decât sincronă cu ceea ce Schier numește Vinča C2.

Mai recent grupul Iclod, alături de alte grupuri culturale neolitice târzii, a fost încorporat în conceptul de cultură Zau, mai exact în etapele III și IV ale acestui fenomen<sup>4</sup>.

Cercetările consistente, în campanii succesive, au dus pe lângă identificarea unui sistem de șanțuri complex (interpretat ca și fortificații)<sup>5</sup> (vezi Planul 1), la descoperirea mai multor structuri de locuire și folosire<sup>6</sup>, precum și a două zone cu morminte de înhumăție numite generic cimitirul A și cimitirul B (vezi Planul 2 unde descoperirile funerare sunt marcate cu roșu). Aceste două zone cu descoperiri funerare, alături de alte descoperiri de același tip atribuite grupului Iclod, vor fi subiectul rândurilor ce urmează, toate referirile de ordin tipologic, cronologic sau eventual cultural fiind legate în mod direct de acestea.

## ELEMENTE DE CRONOLOGIE RELATIVĂ ȘI ABSOLUTĂ

Din punctul de vedere al cronologiei relative cimitirele de la Iclod sunt încadrate în intervalul de sfârșit de Vinča B2/C și început de Vinča C2 (sistemul Lazarovici)<sup>7</sup>, ce ar corespunde cu intervalul sfârșit de Vinča C1–început de Vinča C3 (în sistemul Schier)<sup>8</sup>.

Dacă aceste elemente sunt comparate cu ceea ce se cunoaște din arealul Câmpiei Tisei avem un sincronism cu Tisza I/II, II și III precum și cu Herpály I-III<sup>9</sup>. Totodată putem menționa și contemporaneitatea afirmată a grupului Iclod cu ceea ce este definit în Transdanubia ca și cultura Lengyel, fazele I și II<sup>10</sup>.

Pe baza elementelor de cronologie absolută putem estima, luând în considerare rezultatele obținute de Wolfram Schier pentru fazele 6, 7 și 8a (faze ce acoperă intervalul de cronologie relativă sfârșit de Vinča C1–început de Vinča C3) ale sitului de la Vinča-Belo Brdo, că cimitirele de la Iclod ar acoperi palierul cronologic absolut cuprins între cca. 5000–4700 cal BC<sup>11</sup>. Intervalul cronologic absolut pentru etapele Vinča C1 și Vinča C2 este confirmat și de datele modelate de Florin Drașovean<sup>12</sup>. O altă propunere pentru poziția cronologică a grupului Iclod o găsim la Carsten Mischka (grupul Iclod este încorporat și aici în cultura Zau) care oferă intervalul cca. 5000–4500 cal BC<sup>13</sup>.

## METODOLOGIA ȘI REZULTATELE ANALIZEI PREZENTE

Analiza prezentă vizează toate descoperirile funerare publicate până acum și atribuite grupului cultural Iclod<sup>14</sup>. Totodată au fost incluse și alte două morminte inedite la acest moment din cimitirul B de la

<sup>4</sup> Lazarovici 2010, pp. 122–125. Deoarece dorința noastră este de a prezenta aici doar scurte aspecte ale istoricului cercetărilor privitoare la descoperirile de la Iclod, nu dorim să discutăm aspecte legate de definirea și cronologia acestei noi culturi arheologice (sau ale complexului cultural CCTLNI – vezi Maxim 1999, p. 69), unele fiind deja prezentate (vezi Lazarovici 2010). În consecință, lăsăm eventualele dezbateri pe tema justității conceptului de cultură Zau pe seama unor studii viitoare.

<sup>5</sup> See Lazarovici 1991, pp. 6–7, Lazarovici-Maxim 1989–1993, p. 352, fig. 2 sau Lazarovici-Lazarovici 2006, pp. 633–639. Prospekțiile magnetometrice efectuate aici au demonstrat, în zonele B și D, prezența unui sistem de trei șanțuri concentrice de tip „rondel”, construcții frecvente mai ales în spațiul Lengyel (vezi Mischka 2012, p. 157, fig. 5, 6 și de asemenea Planul 1 din prezentul studiu).

<sup>6</sup> Lazarovici-Lazarovici 2006, pp. 626–633.

<sup>7</sup> Lazarovici 1977a, p. 222, fig. 10.

<sup>8</sup> Vezi pentru acest aspect privirea comparativă din Lazarovici-Lazarovici 2006, p. 119 referitor la Schier 1995, p. 318, Abb. 146.

<sup>9</sup> Raczky 1991, p. 340, fig. 8.

<sup>10</sup> Ibidem.

<sup>11</sup> Schier 1995, p. 330, Abb. 149.

<sup>12</sup> Drașovean 2013, p. 34, Grafic 1

<sup>13</sup> Mischka 2012, p. 154, fig. 2.

<sup>14</sup> Prezentele rezultate sunt parte a proiectului post-doctoral „Neoliticul Târziu din Bazinul Carpatic”, titular Dragoș Diaconescu (2011–2013, Berlin, Institutul de Arheologie Preistorică, Freie Universität), proiect finanțat de Fundația Alexander von Humboldt (Bonn, Germania).

Iclod<sup>15</sup>. Din totalul de 109 morminte semnalate până acum (40 în cimitirul A<sup>16</sup> și 69 în cimitirul B<sup>17</sup>) doar 29 au fost publicate corespunzător pentru a putea fi luate în calcul din perspectiva unei reevaluări bazate pe analiza de corespondență (mormintele nr. 1, 2, 3, 4, 9, 10, 11, 13, 14, 15, 17, 18, 20, 21, 27 din cimitirul A<sup>18</sup> și nr. 5<sup>19</sup>, 24<sup>20</sup>, 32<sup>21</sup>, 35, 36, 37, 40<sup>22</sup>, 43<sup>23</sup>, 51<sup>24</sup>, 52, 53<sup>25</sup>, 57<sup>26</sup>, 67, 68<sup>27</sup> din cimitirul B). Pe lângă mormintele de la Iclod, alte 4 morminte considerate ca aparținând grupului Iclod au fost introduse în câmpul de analiză: mormintele 1 și 2 de la Halmeu-Vamă<sup>28</sup> și mormintele de la Cluj-Arhive și Cluj-Piața Victoriei<sup>29</sup>.

În cadrul studiului de față au fost luate în calcul doar elementele morfologice ale inventarului ceramic al celor 33 de morminte. Vasele complete, pe lângă atribuirea lor unui tip anume, au fost „descompuse” în mai multe variabile, după cum urmează: tip de buză (sau parte superioară), tip de fund/picior (sau parte inferioară), tip toartă/buton, tipuri de ornamente<sup>30</sup> (grupate după tehnica de ornamentare – pictură, incizie, creștătură, tăietură, alveolare, lustruire, perforare, aplicare precum și după poziția lor pe fiecare parte componentă a vasului: pe partea superioară – exterior sau interior, pe corpul vasului – exterior sau interior, pe partea inferioară – exterior sau interior, pe toartă). Codurile ornamentelor sunt după cum urmează: PB – pictură buză, PBI – pictură buză la interior, PC – pictură corp vas, PCI – pictură corp vas la interior, PF – pictură fund/picior, PFI – pictură fund/picior la interior, PT – pictură toarta/buton. Codurile pentru celelalte tehnici de ornamentare sunt I pentru incizie, PE pentru perforare, L pentru lustruire, C pentru creștături, tăieturi, alveolare, A pentru aplicare, BT pentru black-topped. Asocierea pentru diversele zone ale vasului unde sunt aplicate a fost făcută similar cu exemplul oferit pentru ornamentele pictate. În cazul picturii, culoarea diferită folosită pentru decor a creat tipuri noi, chiar dacă motivul ornamental era identic și era poziționat în aceeași zonă a vasului.

Toate aceste variabile de lucru au fost folosite pentru efectuarea analizei de corespondență prin intermediul pachetului de programe WINBASP versiunea 5.43<sup>31</sup>. Tipul de analiză utilizată a fost absență/prezență<sup>32</sup>.

Rezultatele obținute reprezentate în Diagrama 1, se bazează pe 33 unități (morminte) și 44 de variabile (aspecte morfologice ceramică din inventar) și înfățișează un grafic de tip parabolă, reprezentare clasică pentru analiza de corespondență.

Pentru a putea verifica valoarea prezumtiv cronologică a acestui grafic au fost prelevate probe de os uman de la 19 schelete umane (corespunzătoare unui număr de 19 morminte) din cimitirele A și B de la

<sup>15</sup> Este vorba de mormintele nr. 67 și 68. Accesul la imaginile inventarelor celor două morminte s-a făcut prin amabilitatea d-nei Zoia Maxim și a d-lui Gheorghe Lazarovici.

<sup>16</sup> Lazarovici 1991, p. 8.

<sup>17</sup> În Lazarovici 1991, p. 8 erau semnalate 47 de morminte, dar cele două morminte inedite deja precizate (vezi n. 15 supra) indică faptul că au fost descoperite 68 de morminte în această zonă. Al 69-lea mormânt provine din cercetările germano-române în acest sit, tot în zona B (vezi Mischka 2012, p. 157, fig. 10).

<sup>18</sup> Lazarovici 1977a, fig. 5–9; Colesniuc 2008, fig. 143b (pentru m. 1).

<sup>19</sup> Colesniuc 2008, fig. 150b.

<sup>20</sup> Ibidem, fig. 150a.

<sup>21</sup> Lazarovici-Kalmar 1986, p. 32, n. 4, fig. 5; Lichter 2001, Abb. 97C.

<sup>22</sup> Lazarovici-Kalmar 1988, p. 37, fig. 21; 24/4; Lichter 2001, Abb. 97D (pentru m. 36).

<sup>23</sup> Lazarovici-Maxim 1989–1993, fig. 19/1, 3; Lichter 2001, Abb. 98A.

<sup>24</sup> Lazarovici et alii 1995, fig. 3 și fig. 4/1; Lichter 2001, Abb. 98B.

<sup>25</sup> Lazarovici et alii 1996, fig. 8/1, 2, 6, 7 (pentru m. 52); fig. 7/4, 5 (pentru m. 53). La Lichter 2001, Abb. 102 găsim toate vasele citate din m. 52 și m. 53 atribuite la m. 53. Eroarea este preluată de la Lazarovici et alii 1996, unde la explicația fig. 8 găsim vasele de la pozițiile 1, 2, 6, 7 atribuite m. 53. În text la Lazarovici et alii 1996, p. 288 vasele de la fig. 8 sunt atribuite în mod clar m. 52.

<sup>26</sup> Colesniuc 2008, fig. 150c.

<sup>27</sup> Materiale inedite. Mulțumim d-nei Zoia Maxim pentru amabilitatea cu care ne-a oferit respectivele materiale.

<sup>28</sup> Astaloș-Virag 2006–2007, pl. IV–VII.

<sup>29</sup> Lazarovici 1977, fig. 1, 2.

<sup>30</sup> O abordare similară, de data aceasta pentru mormintele culturii Tiszapolgár, vezi la Diaconescu 2013.

<sup>31</sup> Vezi <http://www.uni-koeln.de/~al001/>.

<sup>32</sup> Pentru motivul alegerii acestui tip de analiză vezi Diaconescu 2013, p. 36, n. 13.

Iclod<sup>33</sup>. Determinarea anatomică a acestora a fost făcută de dr. Beatrice Kelemen. Valorile datelor obținute și toate observațiile laboratorului de la Poznan (Polonia) sunt cuprinse în tabelul nr. 1 ce se regăsește mai jos (pentru conformitate, structura și conținutul tabelului sunt identice, cu excepția coloanei cu valorile calibrate, cu raportul primit de la laboratorul din Poznan).

Pentru cimitirul din zona A se observă, fără excepție, lipsa collagenului din os, fapt ce a dus la imposibilitatea obținerii datelor de tip AMS din respectivele șapte probe. Acest fapt poate fi explicat prin faptul că zona A a sitului de la Iclod a fost supusă în timp unor inundații repetate (un exemplu concludent este cel ilustrat în planul 2 unde este reprezentată poziția râului Someș în anul 1976, poziție ce suprapune în mod clar zona cimitirului A). Acest tip de fenomen duce și la antrenarea pe verticală a pânzei freatice din zonă, fapt ce provoacă un mediu hidrologic dinamic în acest areal. Toate aceste aspecte duc la o diminuare treptată (influențată de numărul acestor inundații/timp) a cantității de collagen din oasele prezente în depozitele pedologice afectate de respectivele fenomene hidrologice. Altfel spus, cu cât sunt mai vechi resturile osoase situate într-un depozit pedologic afectat de inundații frecvente, cu atât cantitatea de collagen păstrată va fi mai mică.

Pentru cimitirul B, doar proba din mormântul nr. 30 nu a fost viabilă și asta datorită dimensiunii prea mici a probei. Astfel, din 19 probe trimise spre analiză doar 11 au oferit rezultate. Toate datele obținute sunt de tip AMS.

Sample name	Lab. no.	Age BP	cal BC (2sigma)	Remarks
Iclod A, M2	Poz-0	>0 BP		0.2%N 3.6%C not suitable
Iclod A, M14	Poz-0	>0 BP		0.1%N 2.8%C not suitable
Iclod A, M18	Poz-0	>0 BP		0.3%N 3.6%C not suitable
Iclod A, M20	Poz-0	>0 BP		<0.1%N 2.8%C not suitable
Iclod A, M35	Poz-0	>0 BP		<0.1%N 2.7%C not suitable
Iclod A, M37	Poz-0	>0 BP		<0.1%N 2.8%C not suitable
Iclod A, M38	Poz-0	>0 BP		<0.1%N 2.9%C not suitable
Iclod B, M8	Poz-53754	5815 ± 30 BP	4729–4580 calBC	small 3.8%N 10.8%
Iclod B, M9	Poz-53755	5860 ± 30 BP	4800–4679 calBC	1.1%N 4.7%C REST
Iclod B, M20	Poz-53756	5890 ± 35 BP	4840–4692 calBC	4.5%N 11.3%C
Iclod B, M30	Poz-0	>0 BP		small! 0.3%N 2.7%C not suitable
Iclod B, M31	Poz-53758	5735 ± 30 BP	4685–4499 calBC	3.4%N 9.6%C
Iclod B, M32	Poz-53759	5850 ± 50 BP	4836–4591 calBC	1.8%N 6.6%C

<sup>33</sup> Prelevarea a fost făcută de dr. Sorin Tincu cu acceptul dr. Gheorghe Lazarovici și dr. Zoia Maxim.

Iclod B, M34	Poz– 53760	5900 ± 35 BP	4846– 4695 calBC	3.9%N 10.7%C REST
Iclod B, M43	Poz– 53761	5800 ± 30 BP	4721– 4552 calBC	1.2%N 4.9%C REST
Iclod B, M67	Poz– 53762	6015 ± 35 BP	5001– 4826 calBC	3.5%N 9.9%C
Iclod B, M68	Poz– 53763	5885 ± 35 BP	4837– 4690 calBC	2.9%N 8.9%C
Iclod, M27	Poz– 53764	5785 ± 35 BP	4716– 4546 calBC	2.2%N 7.6%C REST
Iclod, M28	Poz– 53765	5965 ± 35 BP	4945– 4766 calBC	3.6%N 10.1%C REST
<b>Tabelul 1</b>				

Patru dintre mormintele incluse în analiza de corespondență beneficiază și de date  $^{14}\text{C}$ , iar plasarea lor în graficul obținut indică și o valoare cronologică a respectivei reprezentări, din partea dreaptă sus spre partea stângă sus (vezi Diagrama 2).

Acest fapt, precum și dispunerea unităților în cadrul graficului, ne permit să propunem o evoluție tripartită (fazele I–III)<sup>34</sup> a cronologiei descoperirilor funerare de tip Iclod (vezi Diagrama 3). Demnă de remarcat este poziția mai timpurie a descoperirilor din cimitirul A<sup>35</sup> (vezi Diagrama 5) precum și a celor două morminte de la Halmeu<sup>36</sup>.

Datele  $^{14}\text{C}$  existente, precum și graficul obținut prin analiza de corespondență, ne indică clar faptul că nu beneficiem de date absolute pentru etapa cea mai timpurie a descoperirilor funerare numite de noi aici **Ia** unde sunt dispuse mormântul nr. 1 de la Halmeu precum și mormintele nr. 3 și 1 de la Iclod A<sup>37</sup>. În etapa **Ib** sunt încadrate mormintele nr. 13 de la Iclod A, nr. 24 de la Iclod B, nr. 2 de la Halmeu, nr. 9, 11, 17, nr. 57 Iclod B, 21, 27, 14, 15, 2, 20 de la Iclod A, nr., 67, 68 de la Iclod B, nr. 18 de la Iclod A, nr. 68 Iclod B și mormântul de la Cluj-Piața Victoriei. În faza **II** sunt incluse mormintele nr. 10 Iclod A, nr. 37 Iclod B, nr. 4 de la Iclod A, nr. 35, 32 de la Iclod B, mormântul de la Cluj-Arhive, mormintele nr. 43, 36, 51 de la Iclod B. În faza **III** sunt prezente mormintele nr. 52, 5, 53 și 40 de la Iclod B.

Toate cele 11 date AMS au fost folosite pentru modelarea lor bayesiană<sup>38</sup>. Modelul debutează cu etapa Ib (așa cum deja am menționat etapa Ia nu beneficiază de date radiocarbon). Datele ce provin din morminte ce nu sunt prezente în analiza curentă sunt dispuse în funcție de valoarea lor, în strânsă corelație

<sup>34</sup> Dorința noastră este de a nu crea confuzii și tocmai de aceea păstrăm tipul de denominativ deja uzitat pentru fiecare etapă a grupului Iclod.

<sup>35</sup> Acest lucru este deja menționat în literatura de specialitate. Vezi Lazarovici 1991, pp. 8, 12–13; Maxim 1999, p. 88; Lazarovici-Lazarovici 2006, p. 626.

<sup>36</sup> Conform Astaloș-Virag 2006–2007, p. 78 aceste două complexe aparțin etapei Iclod I. Rezultatele obținute aici ridică o problemă teritorială, situl de la Halmeu fiind situat mai mult decât excentric vis-a-vis de aria descoperirilor de tip Iclod (vezi pentru teritoriul Iclod, Maxim 1999, p. 87, fig. 99 iar pentru comparație Harta 1 din acest studiu unde sunt dispuse cele trei situri ce oferă descoperirile funerare analizate în aceste rânduri). Întrebarea care se impune este: ce se petrece între aria Iclod și situl de la Halmeu-Vamă? Sau este momentul să începem să vorbim de mode și tendințe culturale în loc de grupuri culturale și culturi arheologice?

<sup>37</sup> Ordinea de menționare a mormintelor în cadrul fazelor și etapelor grupului Iclod este în funcție de poziția lor în cadrul graficului, fiind citite de la stânga sus spre dreapta sus și deasemenea în funcție de poziția lor în cadrul seriei efectuate pe baza analizei de corespondență (vezi Diagrama 4).

<sup>38</sup> Datele sunt calibrate folosind curba de calibrare IntCal09 (Reimer et alii 2009) și versiunea 4.2.2 a programului OxCal (Bronk Ramsey 2009).



cu datele ce corespund mormintelor analizate. Practic, elementele pe baza cărora a fost construit modelul cronologic (*prior-estimates*) sunt oferite de rezultatele analizei de corespondență.

Modelul obținut (vezi Imaginea 1) are un coeficient de compatibilitate (*agreement*) de 105%, această fiind o valoare ce conferă modelului în discuție o puternică consistență. Astfel, putem afirma că debutul etapei **Ib** se află cadrat în intervalul 4997–4777 cal BC (mean 4866 cal BC – vezi Imaginea 2)<sup>39</sup> valori ce trebuie considerate ca *terminus ante quem* pentru elementele de tip Iclod Ia, care ar trebui să se plaseze la cca. 5000 cal BC. Limita de sfârșit a fazei **III** obținută în cadrul modelului prezent se încadrează între 4697–4431 cal BC (mean 4581 cal BC – vezi Imaginea 5). Aceste valori nu trebuie privite ca și finalul absolut al cimitirelor grupului Iclod, vasele cu picior gol pe dinăuntru ce prezintă perforații triunghiulare, din cimitirul B (considerate faza **III**)<sup>40</sup>, indicând cel mai probabil un orizont ceva mai târziu, de tendință sau influență Tiszapolgár (fază A și/sau început de B1)<sup>41</sup>, care poate tinde către cca. 4450 cal BC ca și limită maximă.

## CONCLUZII

Rezultatele analizei de corespondență aplicată pe ceramica din inventarul mormintelor de tip Iclod ne arată că în etapele mai timpurii (I și II) ornamentele incizate predomină (aici incluzând și banda punctat-incizată) iar în etapa mai târzie (III) pictura cu negru devine elementul definitoriu din punct de vedere decorativ (vezi Diagrama 7 – tot aici se pot vedea și formele de vase specifice aspectului funerar al acestui grup cultural).

Se poate afirma în mod cert că mormintele din cimitirul A sunt mai timpurii decât cele din zona B (vezi Diagrama 5 pentru poziția mormintelor din zona A și Diagrama 6 pentru cele din zona B), prin aceasta reconfirmându-se opinii deja exprimate în această direcție<sup>42</sup> privitoare la o translație teritorială a zonei dedicate depunerilor funerare dinspre zona A spre zona B.

În studiul dedicat celor două morminte neolitice din Cluj-Napoca, redactat în 1977, Gheorghe Lazarovici susține că mormântul din punctul *Arhive* ar aparține fazei timpurii a grupului Iclod (sau faza I) iar mormântul de la *Piața Victoriei* etapei mijlocii (faza II) menționând totodată ca principalul criteriu de diferențiere cronologică este cel al facturii ceramicii din cele două morminte<sup>43</sup>. Rezultatele analizei de corespondență publicate aici ne prezintă o situație diferită: descoperirea de la *Piața Victoriei* aparține etapei Ib, iar cea de la *Arhive* etapei a II-a.

La nivel de cronologie absolută, este foarte clar că grupul Iclod, pe baza celor 11 date analizate aici se înscrie în intervalul cca. 4900–4550 cal BC (vezi Imaginea 6), cu amendamentele deja precizate mai sus conform cărora lipsesc date din etapa Ia și cel mai probabil și din finalul etapei a III-a, fapt ce oferă posibilitatea susținerii unui interval cronologic cuprins între cca. 5000–4450 cal BC pentru dezvoltarea grupului Iclod. Aceste valori reconfirmă încadrările cronologice relative de care vorbeam la începutul acestui studiu<sup>44</sup>.

Realizarea sumelor datelor corespunzătoare fiecărei etape a grupului Iclod din modelul prezentat în Imaginea 1 ne oferă posibilitatea să estimăm că faza Ib este cuprinsă în intervalul cca. 4900–4720 cal BC, faza II între cca. 4780–4630 cal BC, iar faza a III-a între cca. 4700–4540 cal BC (vezi Imaginea 6).

La final, pentru a sublinia încă o dată importanța metodologiei aplicate în prezentul studiu, vom compara și rezultatele obținute pe baza modelării bayesiene a datelor <sup>14</sup>C aparținând grupurilor culturale Foeni, Iclod și Turdaș și, totodată, vom rediscuta sincronismele culturale stabilite pentru aceste trei fenomene culturale.

<sup>39</sup> Toate valorile datelor BC prezente în acest studiu sunt calibrate 2σ (95,4% probabilitate).

<sup>40</sup> Vezi Lazarovici 1983, p. 6 și fig. 1/6, Lazarovici 1986, fig. 9/2 sau Colesniuc 2008, fig. 182b.

<sup>41</sup> Pentru cronologia culturii Tiszapolgár vezi Diaconescu 2013.

<sup>42</sup> Vezi supra n. 35.

<sup>43</sup> Lazarovici 1977, pp. 24–25.

<sup>44</sup> Vezi supra n. 8, 11, 12, 13.

În literatura de specialitate se afirmă și că geneza grupului Iclod are loc prin dislocarea comunităților Turdaș din valea Mureșului către zona actuală a Clujului de către comunitățile de tip Foeni<sup>45</sup>. Altfel spus și grupul Turdaș și grupul Foeni ar fi mai timpurii din punct de vedere al momentului genezei decât grupul Iclod. Admițând ca și corectă existența unei faze Turdaș I în descoperirile din Banat, afirmație susținută și de data radiocarbon din complexul 370 de la Uivar<sup>46</sup> am realizat o repartitie pe fazele Turdaș I, II și III a sumelor datelor corespunzătoare fazelor menționate. Pentru grupul Foeni am preferat separarea în două grupe regionale care par a fi și cronologice (Foeni Banat<sup>47</sup> și Foeni Transilvania). Aceste etape cronologice și culturale au fost comparate între ele (vezi Imaginile 7, 8, 9).

Câtă vreme grupul Foeni este, din punctul de vedere al teoriei descrise mai sus, elementul declanșator al genezei grupului Iclod, prima comparație făcută este între fazele Iclod așa cum au fost modelate în acest studiu și etapele Foeni Banat și Foeni Transilvania. Se poate vedea extrem de clar în Imaginea 7 că faza Iclod Ib este mai timpurie decât etapa bănățeană a grupului Foeni. Astfel putem afirma că grupul Foeni nu are nici o legătură cu geneza grupului Iclod fiind un fenomen ce debutează la moment de Iclod II, varianta transilvăneană fiind chiar ușor mai târzie decât stagiul cronologic al Iclodului III<sup>48</sup>.

Imaginea 8 ne permite să discutăm despre următoarele sincronisme: Turdaș I (Banat)=Iclod Ib, Turdaș II=Iclod II, Turdaș III=Iclod III<sup>49</sup>. Aici ne permitem să atragem atenția că etapa Ia a grupului Iclod este, teoretic, mai timpurie decât Turdaș I<sup>50</sup>. Ce este cert este că la acest moment și contribuția grupului Turdaș la geneza Iclodului este foarte greu de susținut<sup>51</sup>.

Ultimele sincronisme subliniate aici țin de relațiile Turdaș-Foeni, care arată, conform Imaginii 9 după cum urmează: Turdaș II=început Foeni Banat și Turdaș III=final Foeni Banat și început Foeni Transilvania.

## MULȚUMIRI

Contribuția lui Dragoș Diaconescu la acest studiu a fost posibilă prin bursa post-doctorală oferită de Fundația Alexander von Humboldt (Bonn, Germania). Datorăm mulțumiri doamnei dr. Zoia Maxim pentru amabilitatea de a ne oferi accesul la scheletele umane de la Iclod, precum și domnișoarei doctor Beatrice Kelemen pentru determinarea antropologică a probelor osoase prelevate din aceleași schelete. Mulțumim și dr. Tomasz Goslar pentru promptitudinea, profesionalismul și răbdarea de a care a dat dovadă în obținerea datelor prezentate aici precum și pentru încercările repetate de a obține rezultate și pentru probele din cimitirul A de la Iclod.

<sup>45</sup> Drașovean 1996, p. 99; Luca 2001, p. 128; Luca 2006, p. 356; Luca 2008, p. 31 (ultimul autor vede geneza grupului Iclod la nivel de Vinča C2, „aportul culturii Turdaș la originea grupului Iclod” fiind considerat ca și „incontestabil” – vezi Luca 2001, p. 128). Ca opinie diferită vezi Maxim 1999, p. 87 care vede originea grupului Iclod ca provenind din „fondul local al grupului Cluj-Cheile Turzii, din elementele grupului Turdaș, faza I și impulsuri sudice de tip Vinča C”.

<sup>46</sup> Drașovean 2013, p. 16 și fig. 8 cu întreaga discuție referitoare la lipsa unei etape tipologice Turdaș I din Transilvania.

<sup>47</sup> Pentru această entitate culturală au fost utilizate datele din Drașovean 2013, p. 20, Tabel 1.

<sup>48</sup> Dar etapa Foeni Transilvania nu depășește granița de 4450 cal BC considerată de noi ca și limită maximă pentru finalul grupului Iclod. Pentru datele AMS ale grupului Foeni din Transilvania vezi Gligor 2009, p. 141 și Gligor 2012, p. 286.

<sup>49</sup> Etapa Turdaș III este chiar un pic mai lungă în timp, dar aici se aplică cele spuse în nota 48 supra.

<sup>50</sup> Aici rezervele apar din cauza lipsei vreunei date radiocarbon pentru Iclod Ia precum și existența doar a unei date pentru etapa Turdaș I.

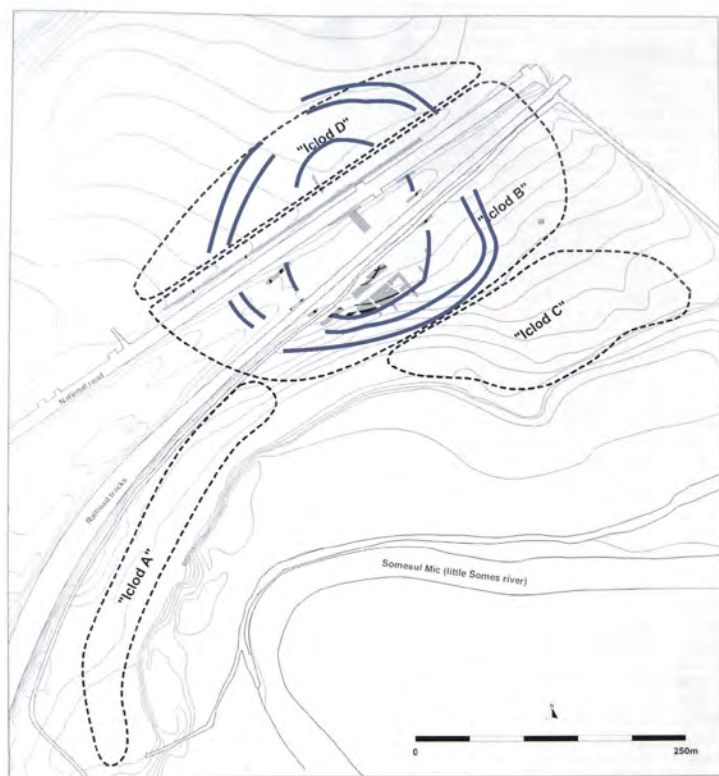
<sup>51</sup> Chiar și cea a fazei Turdaș I (vezi Maxim 1999, p. 87) și n. 45 supra.

## BIBLIOGRAFIE

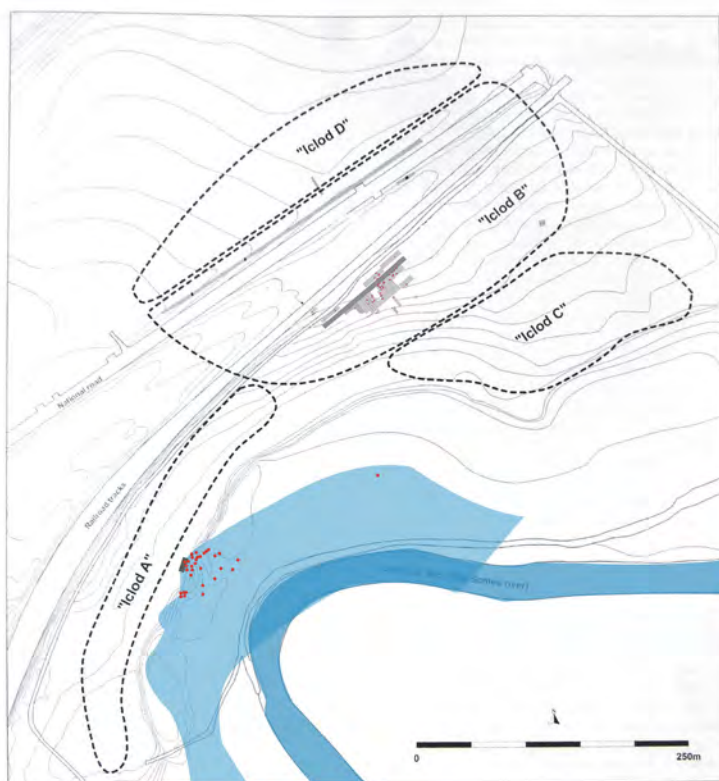
- Astaloș-Virag 2006–2007 Astaloș, Ciprian; Virag, Cristian, *Descoperiri funerare neolitice din județul Satu Mare*, în *Studii și Comunicări Satu Mare. Seria Arheologie XXIII–XXIV/1*, 2006–2007, pp. 73–94.
- Bronk Ramsey 2009 Bronk Ramsey, Christopher, *Bayesian analysis of radiocarbon dates*, in *Radiocarbon* 51 (1), 2009, pp. 337–360.
- Colesniuc 2008 Colesniuc, Sorin, *Cultura Zau*, manuscris nepublicat teză doctorat, Sibiu, 2008.
- Diaconescu 2013 Diaconescu, Dragoș, *Considerații privind cronologia Epocii Timpurii a Cuprului în estul Bazinului Carpatic (cultura Tiszapolgár)*, în *Analele Banatului (Serie Nouă)* XXI, 2013, pp. 35–60.
- Drașovean 1996 Drașovean, Florin, *Cultura Vinča târzie (faza C) în Banat*, Timișoara, 1996.
- Drașovean 2013 Drașovean, Florin, *Despre unele sincronisme de la sfârșitul Neoliticului Târziu și începutul Eneoliticului Timpuriu din Banat și Transilvania. O abordare bayesiană a unor date absolute publicate de curând și republicate recent*, în *Analele Banatului (Serie Nouă)* XXI, 2013, pp. 11–34.
- Gligor 2009 Gligor, Mihai, *Așezarea neolitică și eneolitică de la Alba Iulia-Lumea Nouă în lumina noilor cercetări*, Cluj-Napoca, 2009.
- Gligor 2012 Gligor, Mihai, *Contribuții la cronologia absolută a complexului funerar de la Alba Iulia-Lumea Nouă. Noi date <sup>14</sup>C AMS*, în *Annales Universitatis Apulensis. Series Historica*, 16/I, 2012, pp. 283–292.
- Lazarovici 1977 Lazarovici, Gheorghe, *Inventarul a două morminte neolitice de la Cluj-Napoca*, în *Acta Musei Napocensis* XIV, 1977, pp. 23–28.
- Lazarovici 1977a Lazarovici, Gheorghe, *Sfârșitul culturii Vinča-Turdaș în Câmpia Transilvaniei*, în *Studii și Comunicări de Etnografie-Istorie Caransebeș II*, 1977, pp. 211–230.
- Lazarovici 1983 Lazarovici, Gheorghe, *Principalele probleme ale culturii Tiszapolgár în România*, în *Acta Musei Napocensis* XX, 1983, pp. 3–31.
- Lazarovici 1986 Lazarovici, Gheorghe, *Neoliticul târziu în nord-vestul României (Sălajul, Clujul, Bihorul, Sătmarul) (Das Spätneolithikum in Nordwesten Rumäniens – Sălaj, Cluj, Bihor, Sătmar)*, în *Acta Musei Porolissensis* X, 1986, pp. 15–46.
- Lazarovici 1991 Lazarovici, Gheorghe, *Grupul și stațiunea Iclod (Die Gruppe und Station Iclod)*, Cluj-Napoca 1991.
- Lazarovici 2010 Lazarovici, Gheorghe, *Evolution, Absolute and Relative Chronology of the Zau Culture*, în *Panta Rhei. Studies in chronology and cultural development of South-Eastern and Central Europe in earlier prehistory presented to Juraj Pavúk on the occasion of his 75<sup>th</sup> birthday* (eds. J. Šuteková, P. Pavúk, P. Kalábková, B. Kovár), Bratislava, 2010, pp. 95–109.
- Lazarovici-Kalmar 1986 Lazarovici, Gheorghe; Kalmar, Zoia, *Șantierul arheologic Iclod (1983–1984) (Die archäologische Grabungstelle Iclod 1983–1985)*, în *Apulum* XXIII, 1986, pp. 25–41.
- Lazarovici-Kalmar 1987 Lazarovici, Gheorghe; Kalmar, Zoia, *Șantierul arheologic Iclod. Campania 1985 (Die archäologische Grabungstelle Iclod. Kampagne 1985)*, în *Apulum* XXVII, 1987, pp. 9–39.
- Lazarovici-Kalmar 1988 Lazarovici, Gheorghe; Kalmar, Zoia, *Săpăturile arheologice de la Iclod. Campania din 1986 (Die archäologischen Ausgrabungen von Iclod, Kampagne des Jahres 1986)*, în *Apulum* XXV, 1988, pp. 9–47.
- Lazarovici-Lazarovici 2006 Lazarovici, Cornelia Magda; Lazarovici, Gheorghe, *Arhitectura Neoliticului și Epocii Cuprului din România. Vol. I. Neoliticul*, Iași, 2006.
- Lazarovici-Maxim 1989–1993 Lazarovici, Gheorghe; Maxim, Zoia, *Șantierul arheologic Iclod (Campania 1989) (Die archäologische Ausgrabung von Iclod 1989)*, în *Acta Musei Napocensis* XXVI–XXX, 1989–1993, pp. 337–364.
- Lazarovici et alii 1995 Lazarovici, Gheorghe; Maxim, Zoia; Lazo, Crina; Meșter, Mihai, *Șantierul arheologic Iclod. Campania 1994 (Le chantier archéologique Iclod. Le campagne de 1994)*, în *Acta Musei Napocensis* XXXII, 1995, pp. 507–536.
- Lazarovici et alii 1996 Lazarovici, Gheorghe; Maxim, Zoia; Meșter, Mihai; Bulbuc, Aurel; Radu, Sorin, *Șantierul arheologic Iclod. Campania din 1995 (The archaeological site Iclod. The campaign from 1995)*, în *Acta Musei Napocensis* XXXIII, 1996, pp. 267–299.
- Lichter 2001 Lichter, Clemens, *Untersuchungen zu den Bestattungssitten des südosteuropäischen Neolithikums und Chalkolithikums*, Mainz am Rhein, 2001.



- |                |      |   |
|----------------|------|---|
| Luca           | 2001 | Luca, Sabin Adrian, <i>Așezări neolitice pe Valea Mureșului (II). Noi cercetări arheologice la Turdaș-Luncă. I. Campaniile anilor 1992–1995</i> , Alba-Iulia, 2001.   |
| Luca           | 2006 | Luca, Sabin Adrian, <i>Aspects of the Neolithic and Eneolithic Periods in Transylvania (II)</i> , în <i>Homage to Milutin Garašanin</i> (eds. N. Tasić, C. Grozdanov), Belgrad, 2006, pp. 341–366.  |
| Luca           | 2008 | Luca, Sabin Adrian, <i>The Neolithic and Eneolithic Periods in Transylvania</i> , în <i>The Danube Script: Neo-Eneolithic Writing in Southeastern Europe</i> (ed. J. Marler), 2008, pp. 23–38.  |
| Maxim          | 1999 | Maxim, Zoia, Maxim, Zoia, <i>Neo-Eneoliticul din Transilvania. Date arheologice și matematico-statistice</i> , Cluj-Napoca, 1999.   |
| Mischka        | 2012 | Mischka, Carsten, <i>Late Neolithic multiphased settlements in Central and southern Transylvania: a geophysical survey and test excavation</i> , in <i>Tells: Social and Environmental Space</i> (eds. R. Hofmann, F. Moetz, J. Müller), Bonn, 2012, pp. 153–166.   |
| Raczky         | 1991 | Raczky, Pál, <i>New data on the Southern connections and Relative Chronology of the „Bodrogkeresztúr – Hunyadi halom” Complex</i> , în <i>Die Kupferzeit als Historische Epoche</i> (ed. J. Lichardus), Bonn, 1991, pp. 329–346.  |
| Reimer et alii | 2009 | Reimer, P. J.; Baillie, M. G. L.; Bard, E.; Bayliss, A.; Beck, J. W.; Blackwell, P. G.; Bronk Ramsey, C.; Buck, C. E.; Burr, G. S.; Edwards, R. L.; Friedrich, M.; Grootes, P. M.; Guilderson, T. P.; Hajdas, I.; Heaton, T. J.; Hogg, A. G.; Hughen, K. A.; Kaiser, K. F.; Kromer, B.; McCormac, F. G.; Manning, S. W.; Reimer, R. W.; Richards, D. A.; Southon, J. R.; Talamo, S.; Turney, C. S. M.; van der Plicht, J.; Weyhenmeyer, C. E., <i>Intcal09 and Marine09 radiocarbon age calibration curves, 0–50,000 years cal BP</i> , în <i>Radiocarbon</i> 51 (4), 2009, pp. 1111–1150). |
| Schier         | 1995 | Schier, Wolfram, <i>Vinča Studien. Tradition und Innovation im Späneolithikum des zentralen Balkanraumes am Beispiel der Gefäßkeramik aus Vinča-Belo Brdo</i> , Heidelberg, 1995, manuscris nepublicat teză habilitație.  |



Planul 1: Planul sitului de la Iclod cu poziția șanțurilor (adaptat după Mischka 2012, fig. 3 și 5)



Planul 2: Planul sitului de la Iclod cu poziția cimitirelor A și B (prelucrat după Mischka 2012, fig. 3 și Lazarovici-Kalmar 1987, fig. 1 și fig. 2)

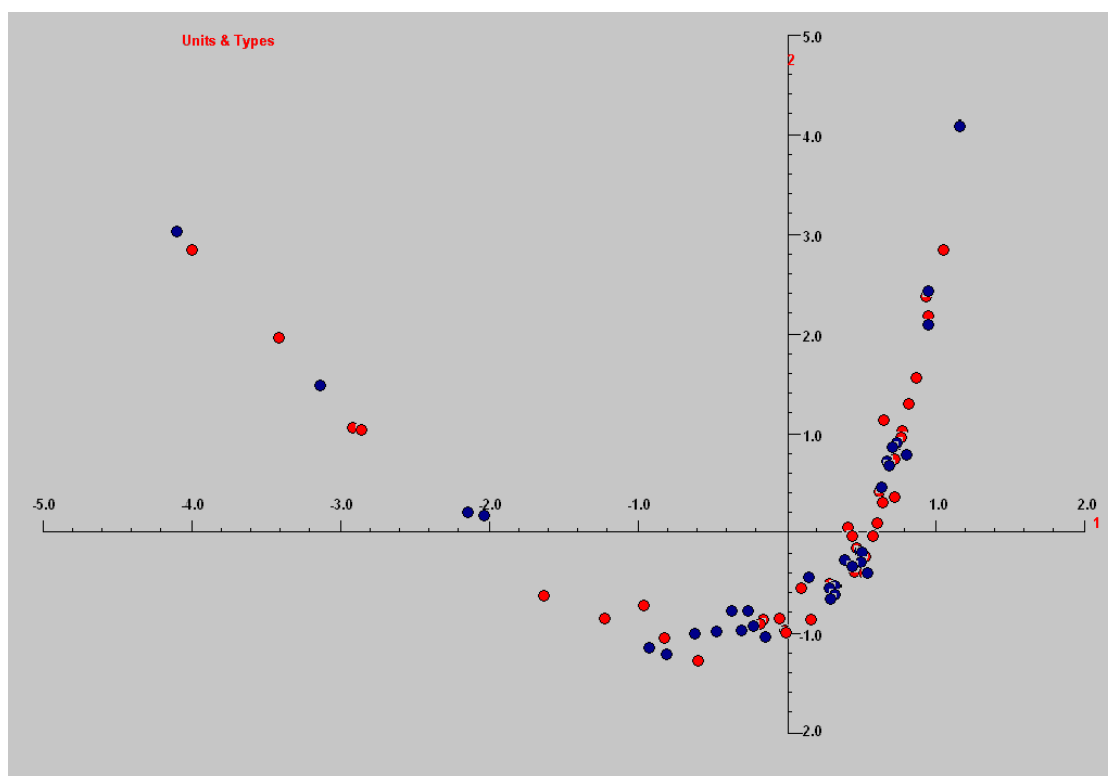


Diagrama 1: Rezultatele analizei de corespondență cu poziția unităților și tipurilor caracteristice

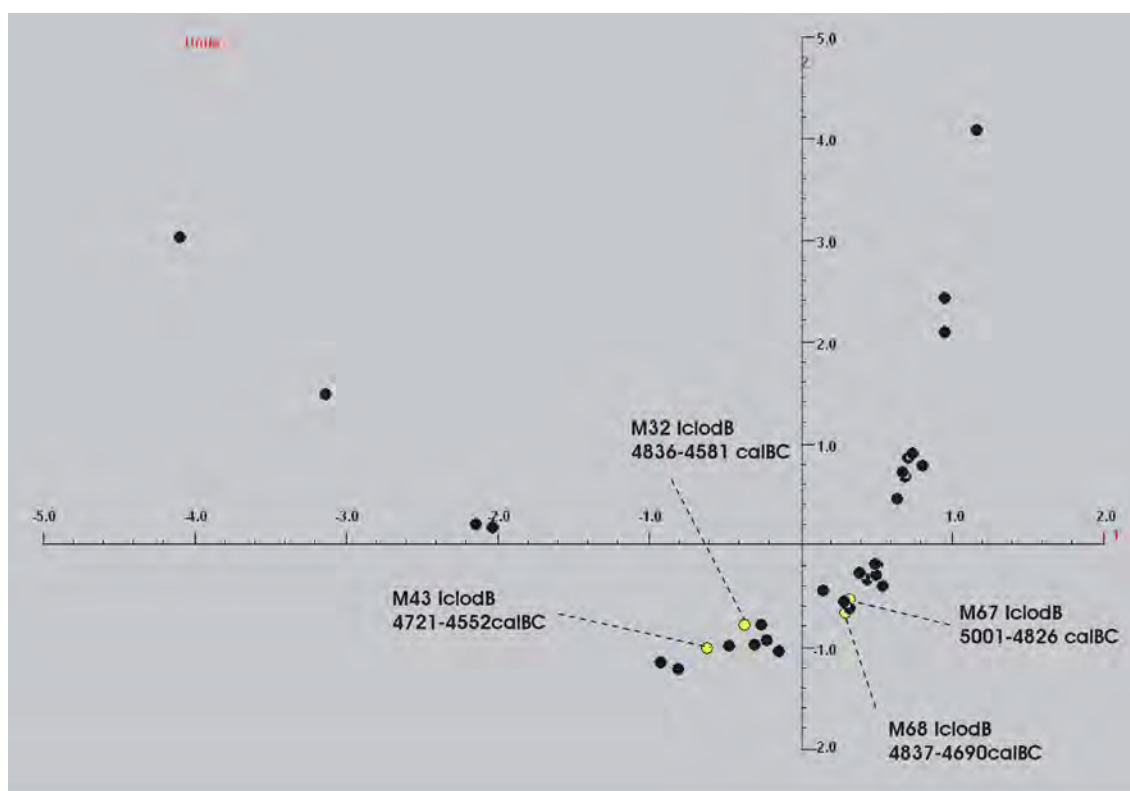


Diagrama 2: Rezultatele analizei de corespondență cu unitățile ce prezintă date AMS

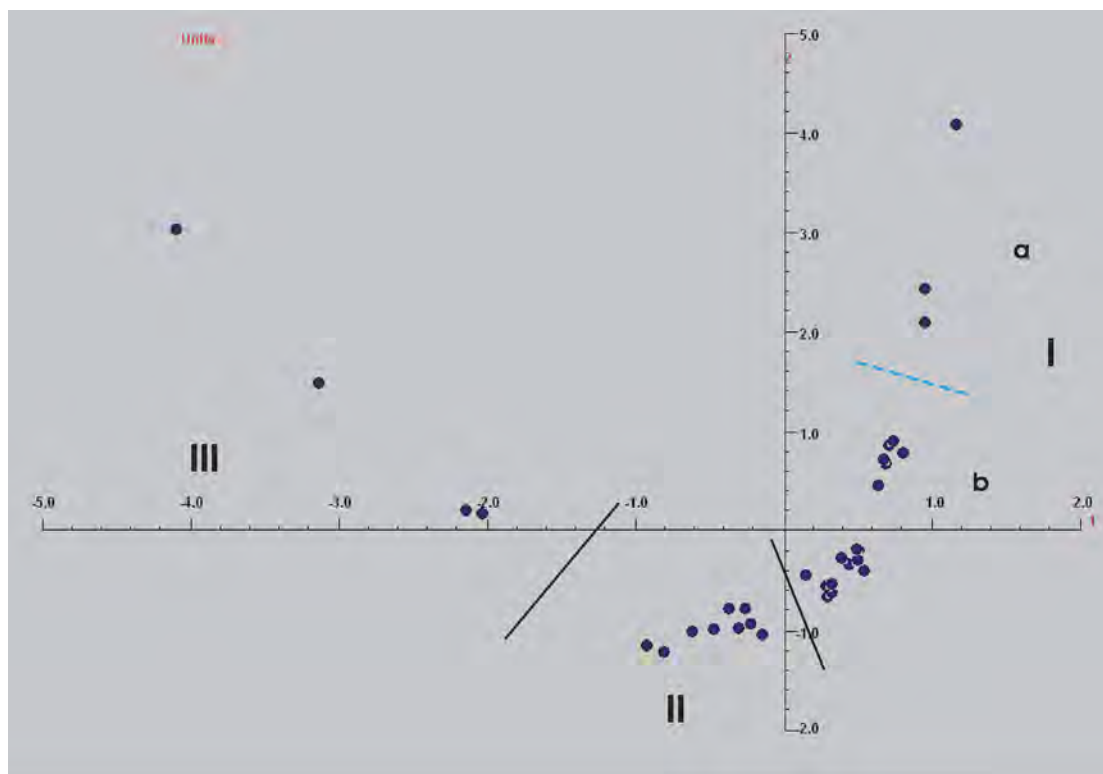


Diagrama 3: fazele grupului Iclod bazate pe rezultatele analizei de corespondență

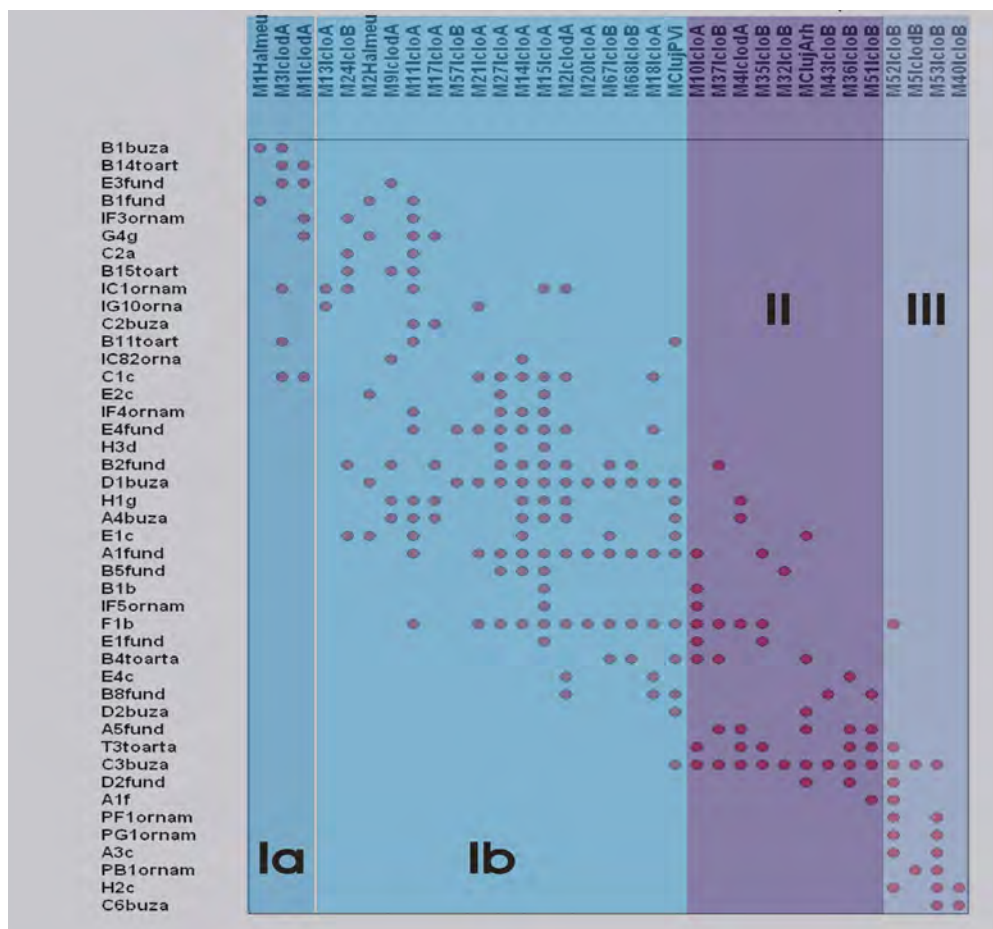


Diagrama 4: serierea bazată pe analiza de corespondență și fazele grupului Iclod

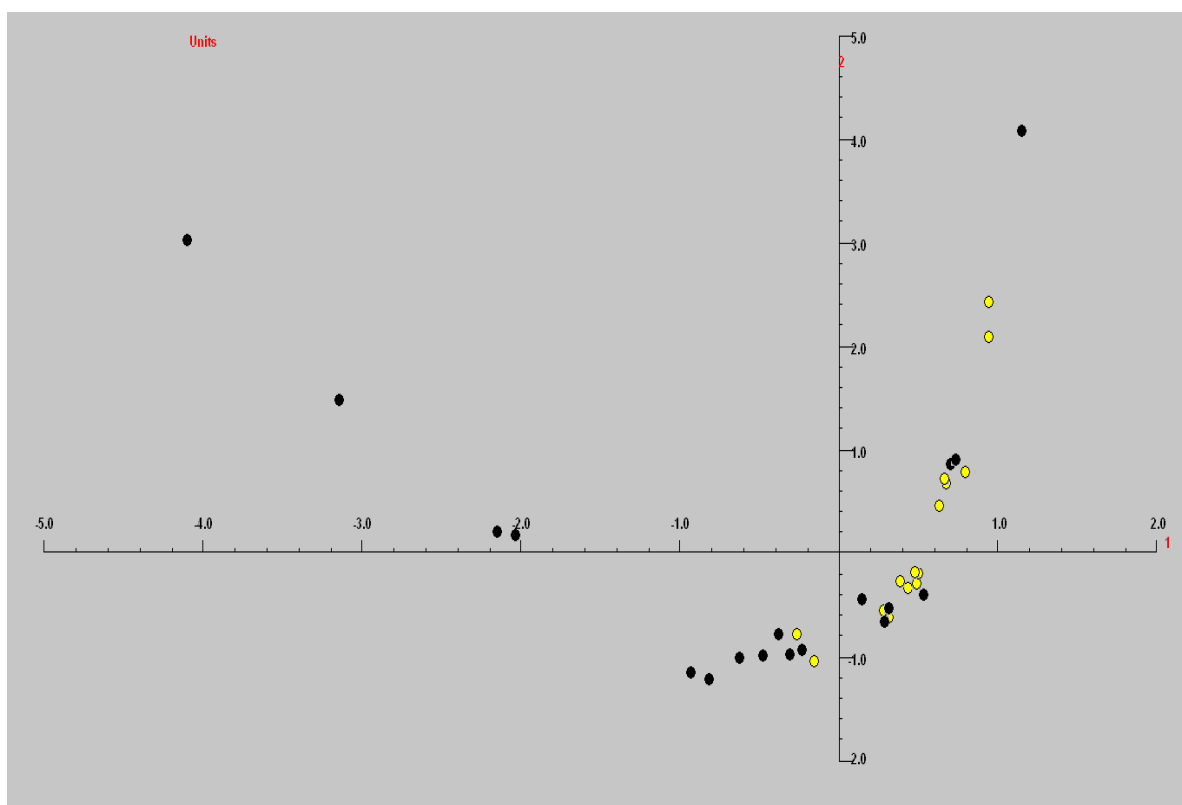


Diagrama 5: poziția mormintelor din cimitirul A în cadrul rezultatelor analizei de corespondență

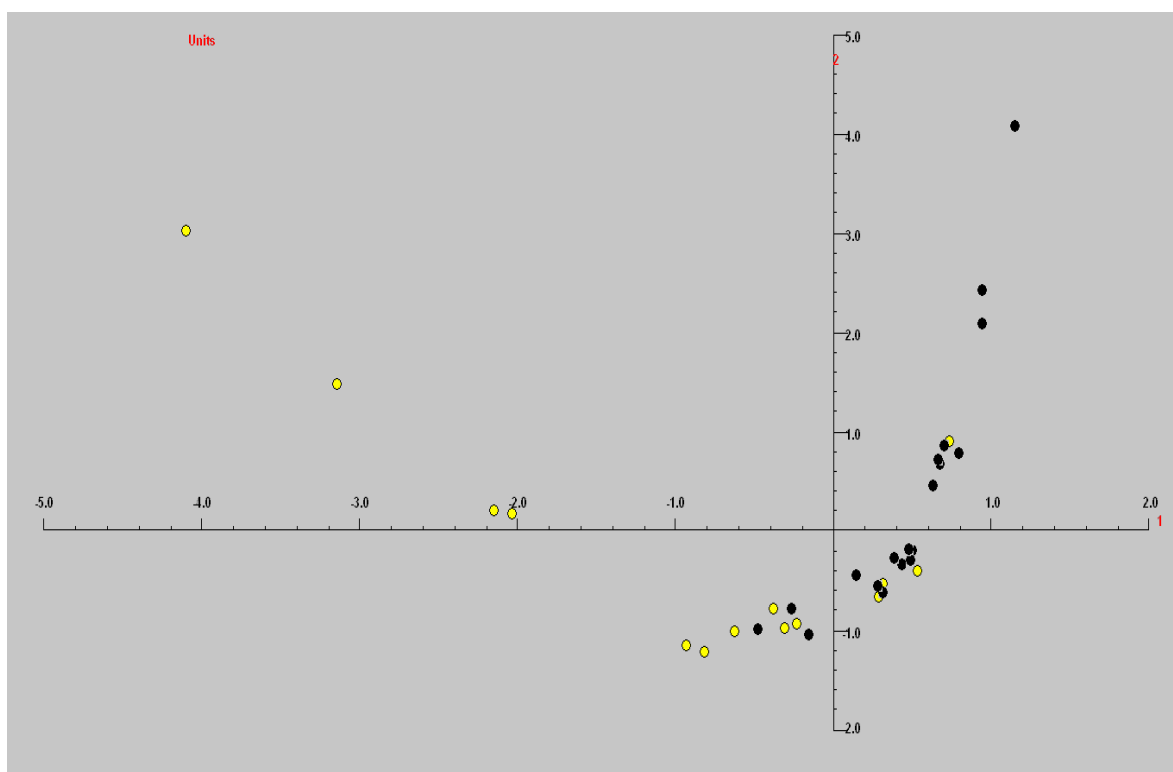


Diagrama 6: poziția mormintelor din cimitirul A în cadrul rezultatelor analizei de corespondență



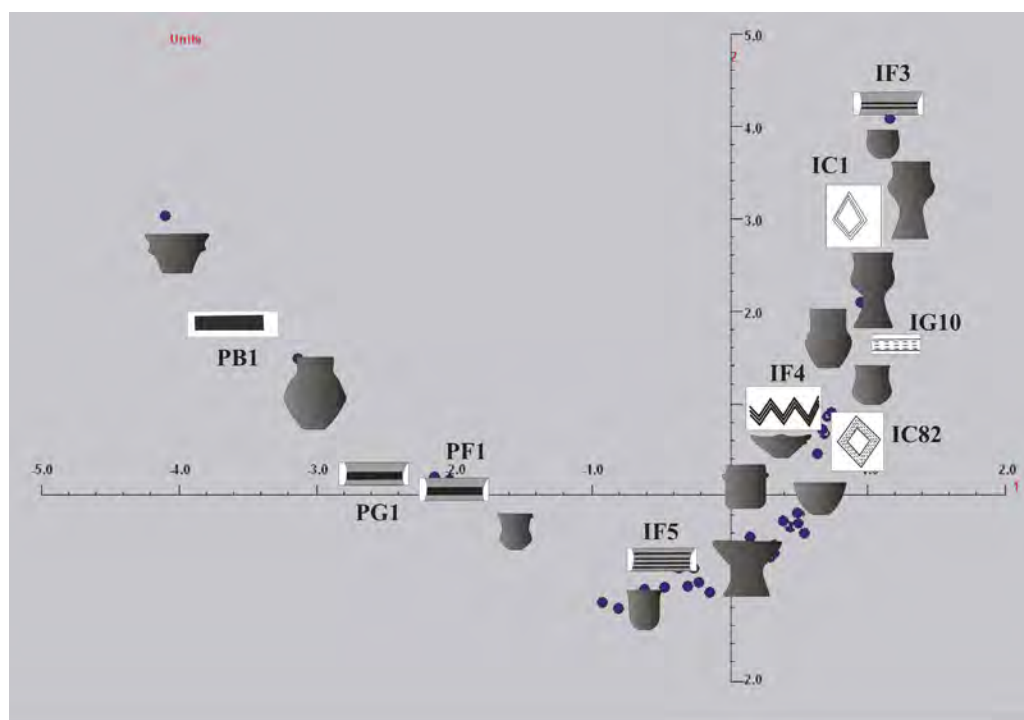
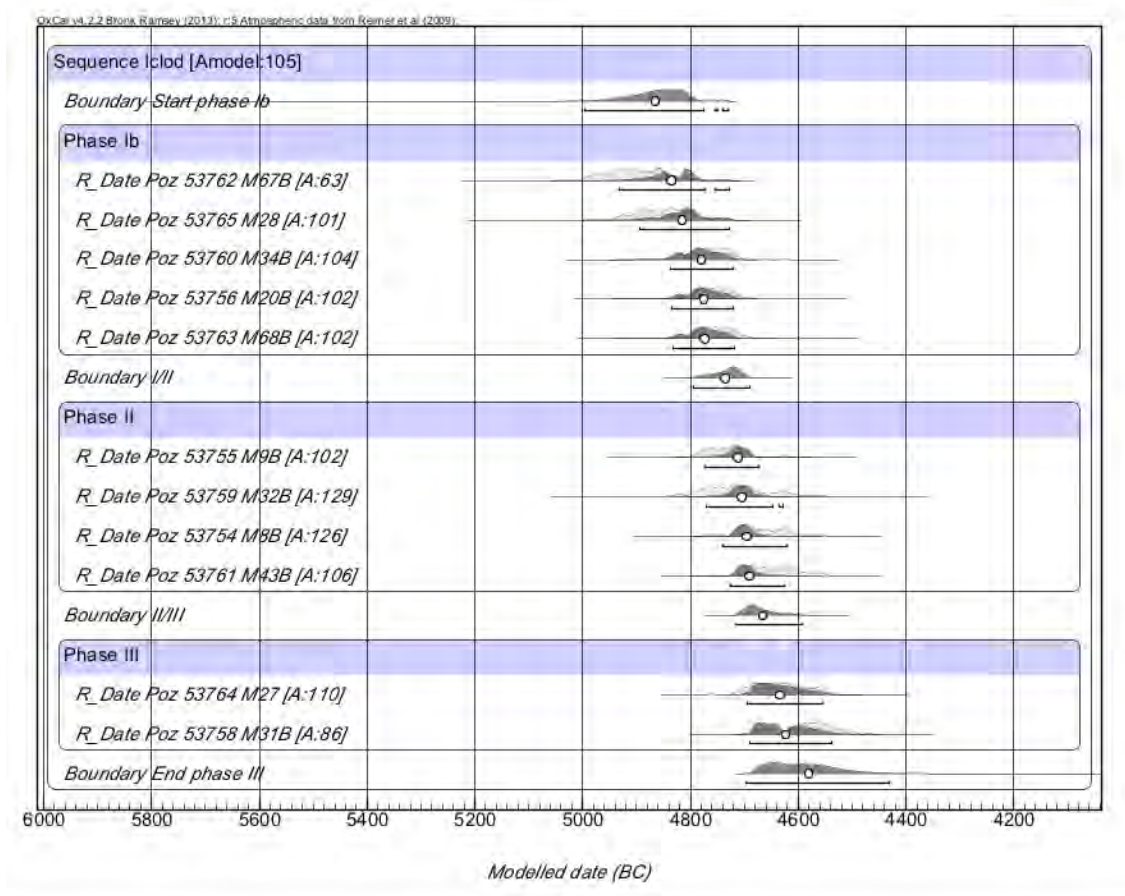
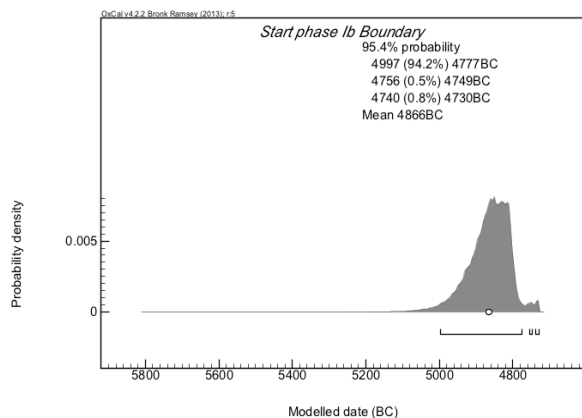


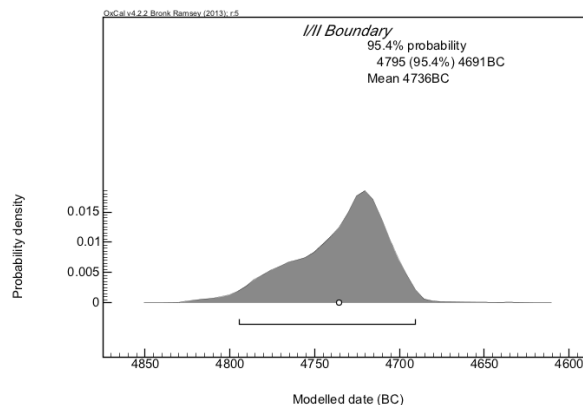
Diagrama 7: distribuția formelor de vas și tipurilor de ornament ca variabile ale analizei de corespondență



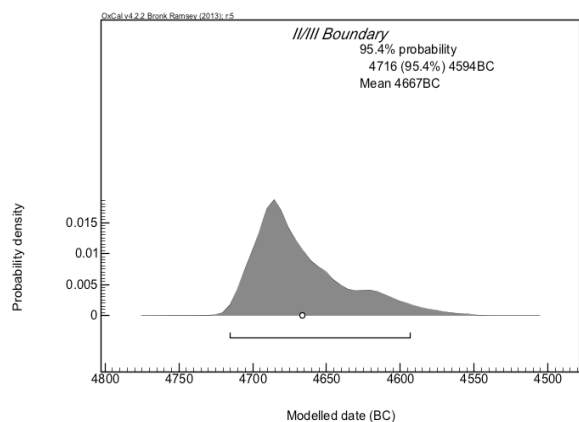
Imaginea 1: modelul cronologic absolut al grupului Iclod obținut prin modelarea bayesiană și bazat pe rezultatele analizei de corespondență



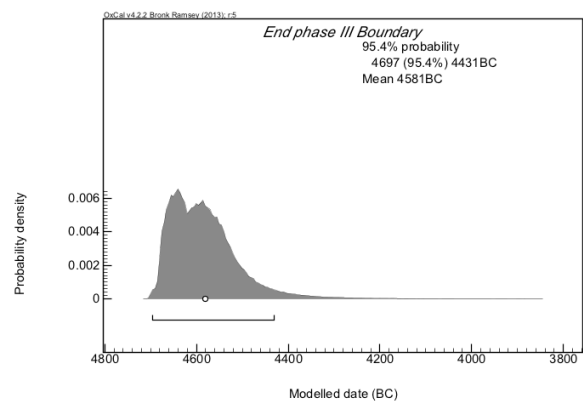
Imaginea 2: debutul etapei Ib



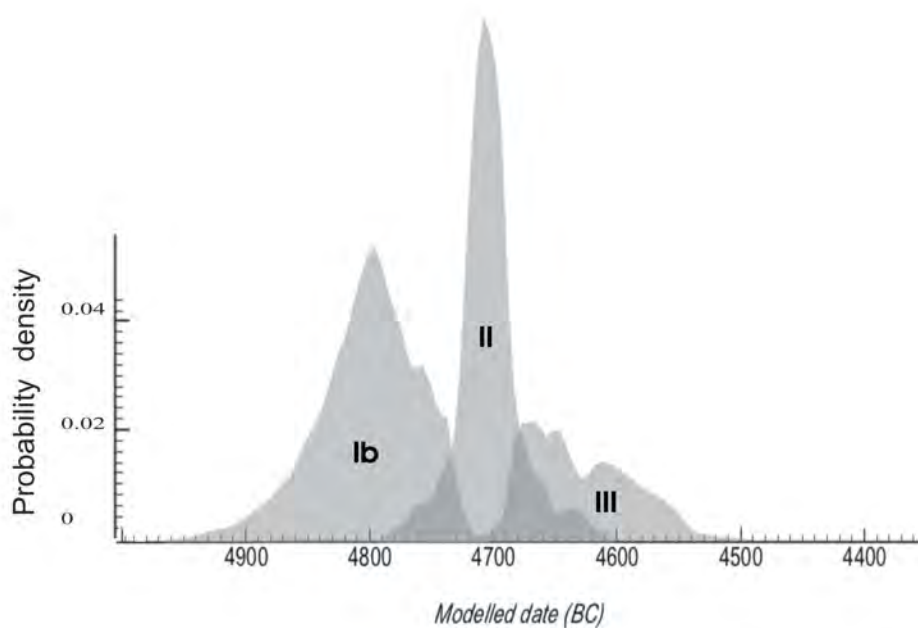
Imaginea 3: granița dintre etapele Ib și II



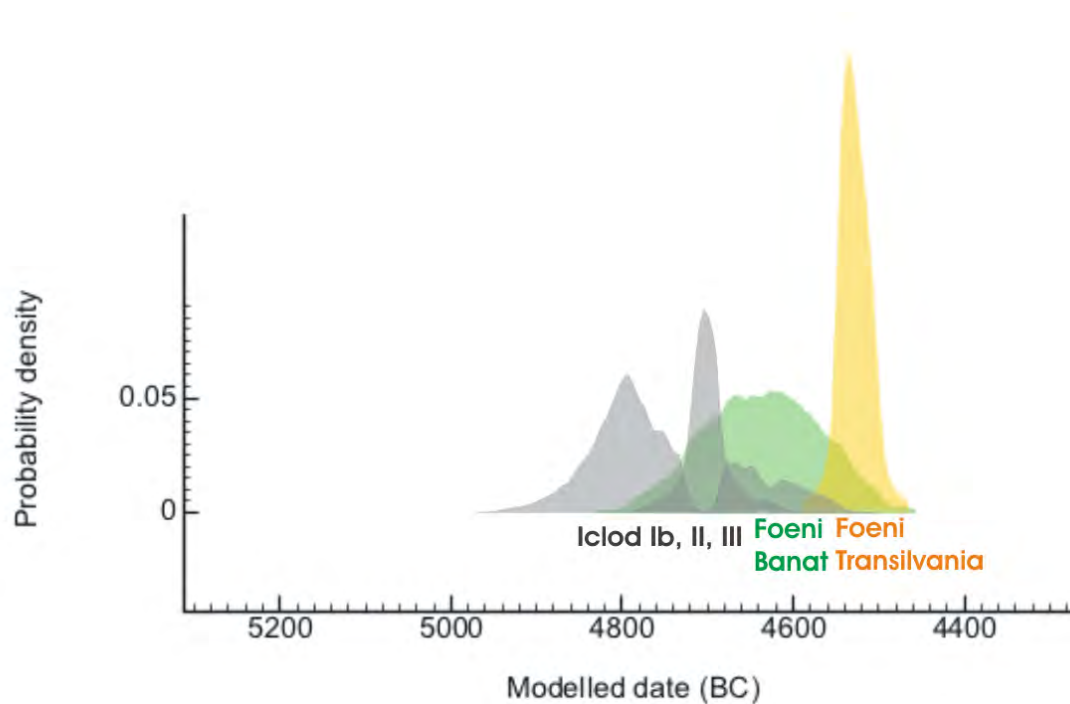
Imaginea 4: granița dintre etapele II și III



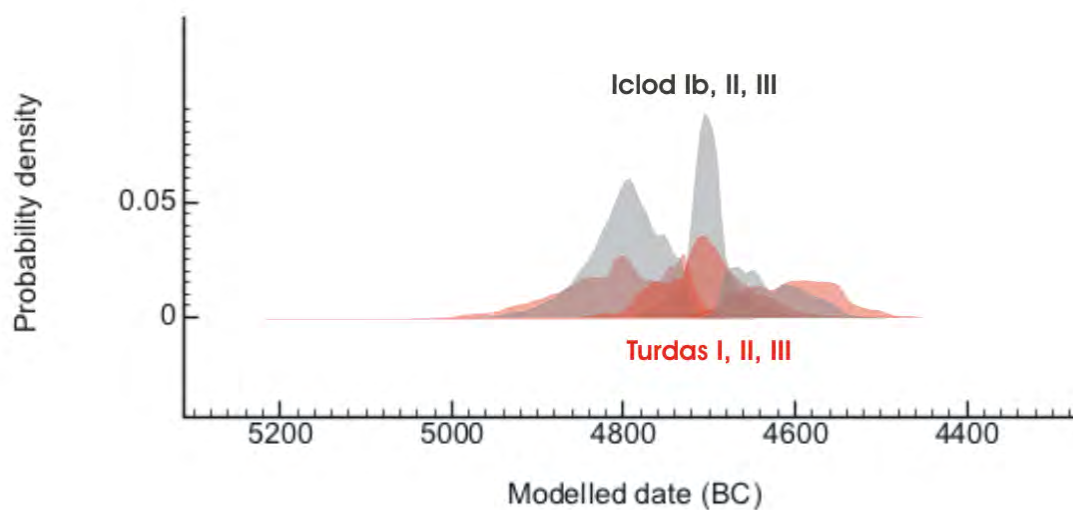
Imaginea 5: finalul etapei III



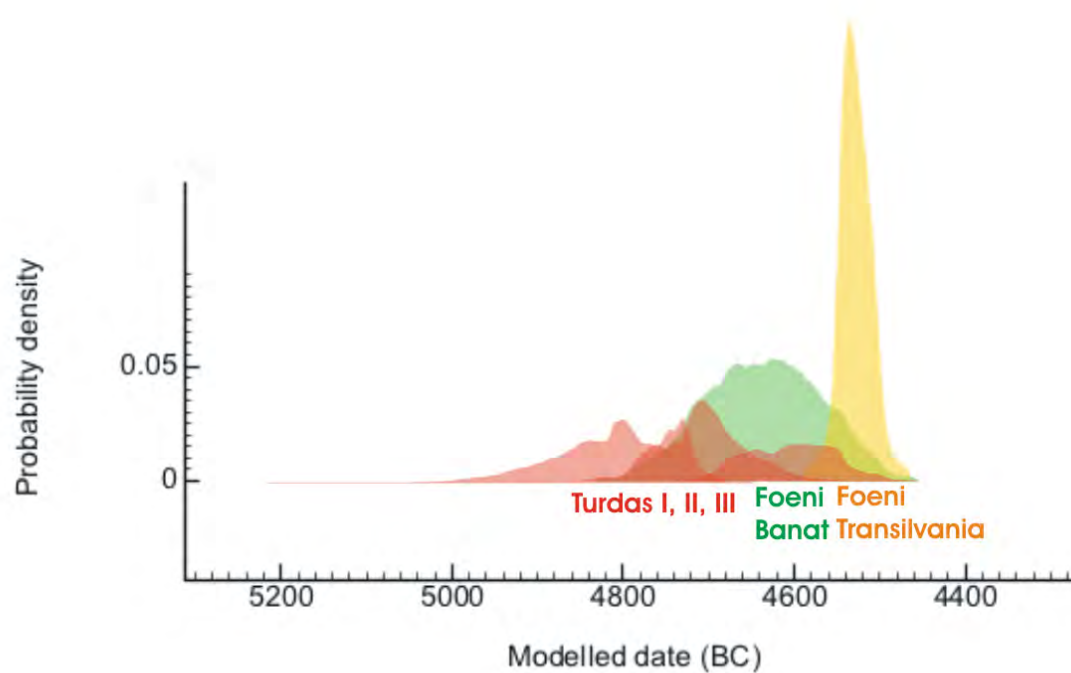
Imaginea 6: sumele mărginite ale celor trei etape Iclod, bazate pe modelul bayesian



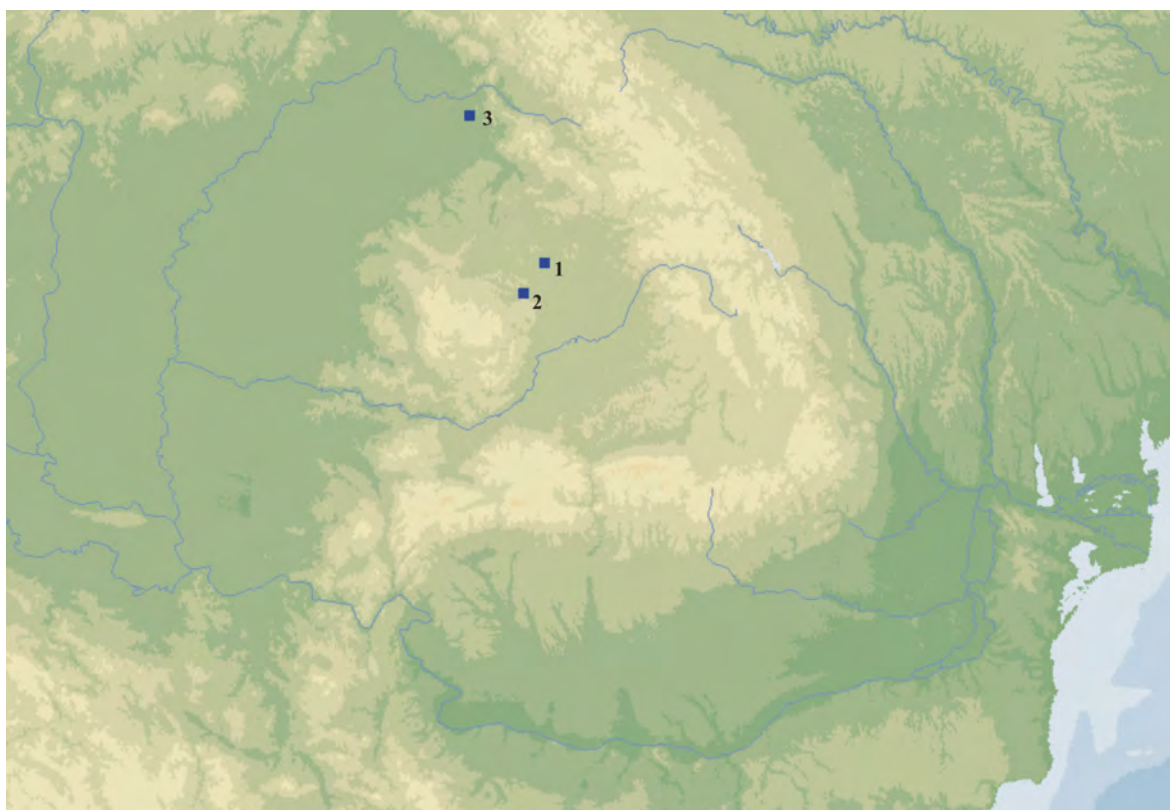
Imaginea 7: sincronismele cronologice absolute dintre sumele mărginite ale etapelor grupul Iclod și sumele mărginite ale celor două etape Foeni



Imaginea 8: sincronismele cronologice absolute dintre sumele mărginite ale etapelor grupul Iclod și sumele mărginite ale celor trei etape Turdas



Imaginea 9: sincronismele cronologice absolute dintre sumele mărginite ale etapelor grupul Turdas și sumele mărginite ale celor două etape Foeni



Harta 1: Harta siturilor ce oferă descoperiri funerare de tip Iclod (1. Iclod, 2. Cluj-Napoca, 3. Halmeu)